

## गैलिक एसिड में कार्बाक्सिलिक समूह का पुनर्दिक विन्यास एवं हाइड्रोजन बन्ध

सतीश चन्द्र मिश्र

पूर्व अध्यक्ष, भौतिक विज्ञान विभाग

बी० एस० एन० वी० पी० जी० कॉलेज, लखनऊ-226001, उ०प्र०, भारत  
पता—555 ग/46/6, चाणक्यपुरी, कृष्णा नगर, लखनऊ-226012, उ०प्र०, भारत

सार

ठोस गैलिक एसिड(3, 4, 5 ट्राईहाइड्रोक्सी बैंजोइक एसिड) के विस्तृत रेखा प्रोटान चुंबकीय अनुनाद, ताप परास 77–526 डिग्री केल्विन ( $^{\circ}\text{K}$ ) एवं 7.5 मेगा हर्ट्ज पर अंकित किये गये। 340  $^{\circ}\text{K}$  तक क्रिस्टल जालक को प्रभावी रूप में दृढ़ पाया गया। द्वितीय आघूर्ण विश्लेषण ने कार्बाक्सिलिक समूह के 348  $^{\circ}\text{K}$  पर पुनर्दिक विन्यास का सुझाव दिया। गति की सक्रियण ऊर्जा 10.8 किलो कैलोरी/मोल पाई गई। ताप परास 410–526  $^{\circ}\text{K}$  में p-OH समूह की असामान्य गति पाई गई। संक्रमण ताप पर अथवा ऊपर, क्रिस्टलीय संरचना में कोई अंतर नहीं प्राप्त हुआ।

**बीज शब्द—** गैलिक एसिड, कार्बाक्सिलिक समूह, पुनर्दिक विन्यास, हाइड्रोजन बन्ध।

### Carboxylic group reorientation and hydrogen bonds in Gallic acid

Satish Chandra Misra

Former Head, Department of Physics

B.S.N.V. Post Graduate College, Lucknow-226001, U.P., India

Residence: 555 Ga/46/6, Chanakyapuri, Krishna Nagar, Lucknow-226012, U.P., India

### Abstract

Broad line PMR spectra of solid Gallic acid (3, 4, 5 trihydroxy benzoic acid) were recorded in the temperature range 77&526  $^{\circ}\text{K}$  at 7.5 MHz. The crystal lattice is found to be effectively rigid up to 340  $^{\circ}\text{K}$ . The analysis of the second moment data suggested the onset of reorientation of carboxylic group at 348  $^{\circ}\text{K}$ . The activation energy for the motion is found to be 10.8 Kcal/mole. In the temperature range 410-526  $^{\circ}\text{K}$ , p-OH group is found to exhibit remarkable motion. No change in crystalline structure was observed at or above the transition temperature.

**Key words-** Gallic acid, carboxylic group, group reorientation, hydrogen bonds.

### 1. प्रस्तावना

प्रस्तुत प्रोटान चुंबकीय अनुनाद गैलिक एसिड(एक नितांत औषधीय एवं व्यावसायिक महत्व का यौगिक) में –COOH समूह के पुनर्दिक विन्यास की स्तरीय स्थिति एवं यौगिक के वलय में निकटवर्ती तीन –OH समूहों की गतिकी के अध्ययन हेतु किया गया।

## 1.1 क्रिस्टलीय विवरण

हैरी<sup>1</sup> ने गैलिक एसिड के एक्स-रे विवर्तन छायामों को प्रकाशित किया जो अणओं में प्रबल हाइड्रोजन बंधों को उदघासित करता है। अण में प्रोटानों की स्थितियाँ सारणी-1 में निरूपित हैं। चित्र-1, संरचना एवं बंध दूरियाँ दर्शाता है। कार्बाक्सिल समूह एवं तीन -OH समूहों की संरचना, अंतर आणविक हाइड्रोजन बंधों एवं प्रोटानों की परिलक्षित आवर्ती गति को प्रोत्साहित करती है। नमूना यौगिक के ईथाइल प्रतित्पाद का मुक्त मूलक जैविक कोशिकाओं की प्रोटीन संरचना<sup>2</sup> में निकट की संबद्धता रखता है तथा कैंसर कोशिकाओं में उनकी सान्द्रता को घटाता है। हाइड्रॉक्सिल समूहों में अनन्योन्य क्रिया है<sup>4</sup> तथा H-बंधक समूहों की पास-पास स्थितियों के कारण अवरोध को भी पाया गया है।<sup>5-6</sup> चमड़ाशोधन गुण<sup>7</sup> का आधार है, पेटाइड जोड़ों से प्रबल H-बंधों का होना, जो बैंजहाइड्रॉक्सी का p-OH समूह से कुइनोनाइड संरचना अनुनाद के कारण विकसित होता है।

### सारणी-1

गैलिक एसिड में प्रोटानों के स्थितीय निर्देशांक— एक द्विआयामी विश्लेषण

क्र.सं.	प्रोटान्स	Y	Z
1.	H <sub>1</sub>	2.1217	1.2650
2.	H <sub>2</sub>	2.1266	-2.2271
3.	H <sub>3</sub>	-0.8177	-2.0243
4.	H <sub>4</sub>	-3.1095	-0.7012
5.	H <sub>5</sub>	-2.1909	1.2250
6.	H <sub>6</sub>	1.8625	2.9212

## 2. गणनाएं

### 2.1 दृढ़ जाल प्रोटान द्वितीय आघूर्ण

प्रोटान द्वितीय आघूर्ण(S<sub>2</sub>) के अंतरआणविक अंशदान(S<sub>2</sub>)<sup>1</sup> को वानव्लैक<sup>8</sup> के परिवर्तित संबंध द्वारा परिकलित किया गया। यह मान 7.37 जी<sup>2</sup> पाया गया। पारस्परिक आणविक अंशदान(S<sub>2</sub>)<sup>2</sup> की गणना एण्ड्रयू एवं ईरेदीज<sup>9</sup> की विधि द्वारा की गई जिसका मान 6.60 जी<sup>2</sup> प्राप्त हुआ। यह अग्रवाल एवं अन्य<sup>10</sup> के अध्ययन के प्रकाश में तर्कसंगत प्रतीत होता है। इस प्रकार दृढ़जाल प्रोटान द्वितीय आघूर्ण, (S<sub>2</sub>) = (S<sub>2</sub>)<sup>1</sup> + (S<sub>2</sub>)<sup>2</sup> = 13.97 जी<sup>2</sup>।

### 2.2 -COOH समूह के परिघूर्णन हेतु घूर्णन द्वितीय आघूर्ण

शिलचर<sup>11</sup> के सूत्र द्वारा घूर्णन द्वितीय आघूर्ण को अनुमानित किया जा सकता है। प्रतिस्थापित समूह की पारस्परिक आणविक गति के कारण कुल दृढ़जाल प्रोटान द्वितीय आघूर्ण में कमी निम्नलिखित समीकरण द्वारा प्राप्त की गई।

$$(\Delta W^2)_{\text{rot}} = (\Delta W^2)_{\text{r.l.}} \left[ \frac{3 \cos^2 \gamma_{jk} - 1}{2} \right]^2$$

ऊपर के कोष्ठक पद का मान पारस्परिक क्रिया के विभिन्न आयामों हेतु 0.53 परिकलित किया गया। कम हुआ घूर्णन द्वितीय आघूर्ण, इस प्रकार, 7.41 जी<sup>2</sup> प्राप्त हुआ और तब समूह परिघूर्णन हेतु सैद्धांतिक कमी का मान(13.97-7.41)=6.56 जी<sup>2</sup> होना चाहिए।

### 2.3 सक्रियण ऊर्जा

परिवर्तित बी०पी०पी० सिद्धांत<sup>12-14</sup> जो रेखा चौड़ाई को घूर्णन आवृत्ति से संबंधित करता है, द्वारा संक्रियण ऊर्जा को परिकलित किया जा सकता है। प्रयुक्त समीकरण निम्न है,

$$(\Delta H)^2 = \beta^2 + \left( \frac{2}{\pi} \right) c^2 \tan^{-1} \left( \frac{\alpha \gamma \Delta H}{2 \pi v_c} \right)$$

जिस आरहीनियस समीकरण का प्रयोग किया गया उसका स्वरूप निम्न था,

$$v_c = v_0 \exp \left( -\frac{E_2}{RT} \right)$$

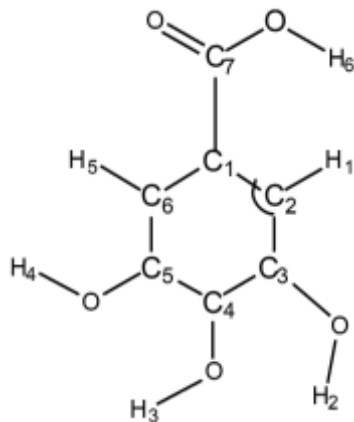
इस प्रकार सक्रियण ऊर्जा का मान 10.8 किलो कैलोरी/मोल प्राप्त हुआ।

### 3. विवेचन

77 °के पर सैद्धांतिक दृढ़जाल प्रोटान द्वितीय आघूर्ण (13.97 जी<sup>2</sup>) प्रायोगिक द्वितीय आघूर्ण (14.30±1जी<sup>2</sup>) से संतोषजनक रूप से समता दर्शित करता है। यह तथ्य कल्पित आण्विक ढांचे को सत्यापित करता है तथा सुझाव देता है कि अणुजाल ठोस एवं घूर्णनगतिहीन है। 340 °के तक द्वितीय आघूर्ण क्रमशः कम होता जाता है। यह किसी प्रकृति की दोलनगति, जो वास्तविक समूह घूर्णन के प्रारम्भ होने से पूर्व ही घटित होती है, की ओर इंगित करती है। इस गति का कारण संभवतः –OH समूह की अंतरआण्विक गति के कारण है। इस प्रकार की गति की संभावना को कई प्रयोगकर्ताओं ने व्यक्त किया है<sup>16-19</sup>। जारोस्लाव<sup>20</sup> ने दर्शाया है कि कार्बनिक नाभिक में कार्मिक समूह की उपस्थिति से परिणति गति पर कोई प्रभाव नहीं पड़ता है। –OH समूह के स्टेरिक एवं ढांचागत प्रभावों से –COOH समूह अप्रभावी रहता है तथा बंध आघूर्ण प्रकार का डेस्मोट्रोपिक अनुनाद सशक्त औपचारिक बंध के बनने के साथ-साथ होता रहता है जो समूहगति को अधिक बाधित करता है। ताप परास 340 °के – 352 °के में द्वितीय आघूर्ण अनायास दृढ़जाल मान से 8.02 जी<sup>2</sup> के मान पर गिर जाता है। यह आकस्मिक मानक्षय पुनर्दिक विन्यास के आरम्भ की ओर इंगित करता है<sup>21,22</sup>। क्रिस्टल संरचनात्मक सममिति अक्ष के चहुंदिशि पूरे अणु के घूर्णन की संभावना को अणु के आकार एवं इसकी समानान्तर तल में बंधन व्यवस्था को ध्यान में रखते हुए नकारा जा सकता है। गुटोवोस्की एवं पेके<sup>13</sup> तथा एण्ड्रयू एवं ईएंडेस<sup>22</sup> के सिद्धांतों से पूरे अणु के घूर्णन के कारण S<sub>2</sub><sup>(1)</sup> में कमी को आंकलित किया जा सकता है। उक्त शोधकर्ताओं ने दिखाया है कि सममिति अक्ष के परितः आण्विक घूर्णन के कारण S<sub>2</sub><sup>(1)</sup> में 0.24 के गणक से कमी आती है। इन गणनाओं से कम हुए अंतर एवं पारास्परिक अंशदान क्रमशः 2.51 तथा 1.58 जी<sup>2</sup> प्राप्त हुए और इस प्रकार आण्विक घूर्णन की उपस्थिति से दृढ़जाल प्रोटान द्वितीय आघूर्ण 2.51 + 1.58 = 4.09 जी<sup>2</sup> कम होना चाहिए। यह मान प्रायोगिक तौर पर प्राप्त कमी (8.02 जी<sup>2</sup>) के मान से मेल नहीं खाता है। अस्तु, आण्विक घूर्णन की संभावना को नकारना उचित ही है। अन्य संभावना बनती है, –COOH समूह के C–C बंध के परितः घूर्णन की। –COOH समूह घर्णन का द्वितीय आघूर्ण पर प्रभाव को शिलचर<sup>11</sup> के संबंध (जिसका विवरण इसी प्रपत्र में पीछे है) से आकलित किया गया। सैद्धांतिक घूर्णन द्वितीय आघूर्ण 7.41 जी<sup>2</sup> प्राप्त हुआ जो प्रायोगिक मान 8.02 जी<sup>2</sup> से पूर्ण अनुरूपता दिखाता है और –COOH समूह घूर्णन की अवधारणा को पुष्ट करता है।

रमैयाह<sup>23</sup> के 303–353 °के ताप परास में अध्ययन एवं यू०पी० स्पेक्ट्रम भी उक्त सीमा में ताप बढ़ने पर P<sub>ka</sub> मानों में कमी का सुझाव देते हैं। सेडलेक<sup>24</sup> तथा एडम्स आदि<sup>25</sup> भी घूर्णन की संभावना का सुझाव देते हैं। इस सीमा में सक्रियण ऊर्जा का मान अनुमानतः

12.0 किलो कैलोरी/मोल है(वाघ एवं फेडिन)<sup>26</sup>। निकटस्थ H—बंधों समूहों के कारण स्टेरिक प्रभावों को रॉबर्ट्स आदि<sup>27</sup> ने दर्शाया है। चूँकि गैलिक एसिड में समूह, आंतरिक स्तर पर दृढ़ता से H—बंधित हैं अतः स्वतंत्र धूर्णन असंभव प्रतीत होता है।



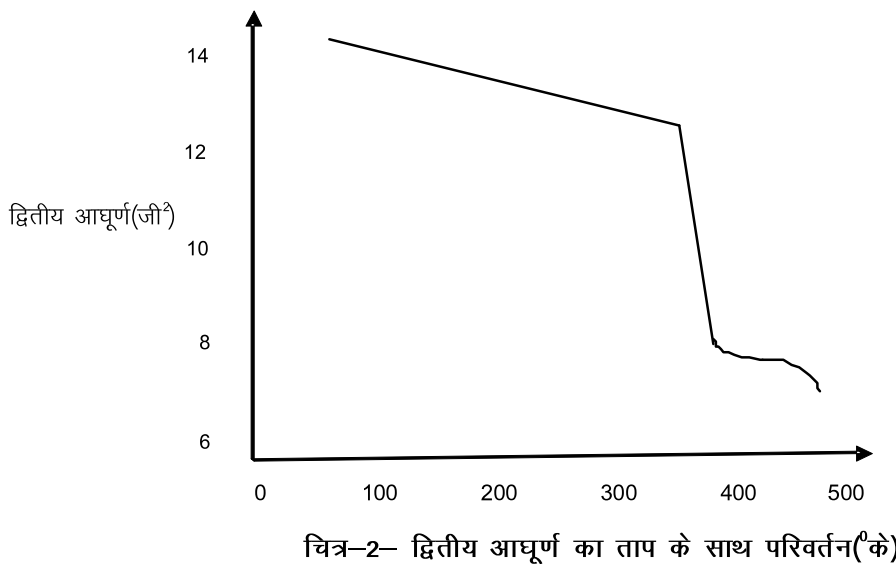
चित्र-1 गैलिक एसिड की आण्विक संरचना

#### 4. प्रयोग एवं निष्कर्ष

विस्तीर्ण रेखा पी0एम0आर0 स्पेक्ट्रम को 12" चुंबक व्यवस्था के वेरियन एसोसिएट्स के परिवर्तनशील आवृत्ति वाले वर्णक्रममापी से 7.5 मेगा हर्ट्ज की स्थाई अनुनाद आवृत्ति पर टी0आई0एफ0आर0, बॉम्बे में चित्रित किया गया। परिवर्तित आयाम को छोटा रखा गया। मापन की शुद्धता लगभग  $\pm 1$  जी<sup>2</sup> थी। प्रोटान द्वितीय आधूर्ण की गणना ड्रैपीजियम नियम, जिसका विवरण अन्यत्र है<sup>15</sup>, से व्युत्पन्न रेखाचित्रों द्वारा किया गया। द्वितीय आधूर्ण का ताप के साथ परिवर्तन चित्र-2 में दर्शित है।

#### 5. आभार

प्रपत्र प्रस्तुतकर्ता प्रोफेसर आर0 विजयराधवन, टी0आई0एफ0आर0, बॉम्बे, के प्रति प्रायोगिक सुविधा हेतु अपना हार्दिक आभार प्रकट करते हैं। प्रस्तुतकर्ता यू0जी0सी0, नई दिल्ली के प्रति आर्थिक सहायता हेतु धन्यवाद ज्ञापन करते हैं।



चित्र-2— द्वितीय आधूर्ण का ताप के साथ परिवर्तन<sup>(के)</sup>

## સંદર્ભ

1. હૈરી, એ૦ આર૦ એવં આન, જો૦ સી૦(1956) એનાલિટિકો કેમો, ખણ્ડ 28, પૃ૦ 1430 |
2. બ્લાયોમીફલ્ડ, એલ૦ એ૦ એવં અન્ય (1964) મિકો કાઇનેટિકા ફર્ન કેટાલિજા એકડે૦ નૌકો એસએસઆર, ખણ્ડ 83(સીએ61, 10697 એચ) |
3. ગોરોડેત્સ્કી, એ૦ એ૦ એવં અન્ય(1961) ડોપોવિદી એકડે૦ નૌક, યૂક્રેન, આર એસ આર 812 |
4. યાશુહારા, એસ૦ એવં મસ્યામા, એસ૦(1958) કગાકુ ટોકોગ્યોમ, ખણ્ડ 31, પૃ૦ 399 |
5. બાયકોયા, એલ૦ એન૦ એવં અન્ય(1970) જાહો ઑફ્સ્કેકો ખિમો, ખણ્ડ 40, પૃ૦ 230 |
6. લેરોસેન, એ૦ એલ૦ એવં અન્ય(1953) એનાલિટિકો કેમો, ખણ્ડ 25, પૃ૦ 666 |
7. શુતુંગા, ટી૦ એવં લોલર, આર૦ એમ૦(1950) જો અમેરિ૦ લીટ્કો કેમો એશોનો, ખણ્ડ 45, પૃ૦ 324 |
8. વૉન વ્લેક, જો૦ એચ૦(1948) ફિજિકલ રિવ્યૂ ખણ્ડ 74, પૃ૦ 1168 |
9. એણ્ડ્ર્યૂ, ઈ૦ આર૦ એવં ઈદેજ, આર૦ જી૦(1953) પ્રોસી૦ ફિજિ૦ સોસા૦, ખણ્ડ એ66, પૃ૦ 415 |
10. અગ્રવાલ, એસ૦ સી૦ એવં અન્ય(1972) ઇણિડ્યન જો ઑફ પ્યોર એણ્ડ એપ્લાઇડ ફિજિક્સ, ખણ્ડ 10, પૃ૦ 602 |
11. શિલચટર, સી૦ પી૦(1963) પ્રિન્સિપલ્સ ઑફ મૈન્યેટિક રેઝોનેન્સ, હાર્પર્સ એણ્ડ રો, ન્યૂ યૉર્ક, પૃ૦ 62 |
12. બ્લોમબર્ગન, એન૦ એવં અન્ય(1948) ફિજિકલ રિવ્યૂ, ખણ્ડ 73, પૃ૦ 619 |
13. ગુટોફ્સ્કી, એચ૦ એસ૦ એવં ફેક, જી૦ ઈ૦(1958) જો કેમો ફિજિ૦, ખણ્ડ 18, પૃ૦ 162 |
14. કૂબો, આર૦ એવં ટોમિટા, કો(1954) જો ફિજિ૦ સો૦ જાપાન, ખણ્ડ 9, પૃ૦ 888 |
15. મિશ્રા, એસ૦ સી૦ એવં અન્ય(1978) કરેન્ટ સાઇંસ, ખણ્ડ 47, અંક 2, પૃ૦ 37 |
16. ગુત્તા, આર૦ સી૦ એવં અગ્રવાલ, વી૦ ડી૦(1967) ઇણિડ્યન જો ફિજિ૦, ખણ્ડ 41, પૃ૦ 559 |
17. હ્વોસ્લેફ, જો૦(1958) એકટા ક્રિસ્ટલોગ્રા૦, ખણ્ડ 11, પૃ૦ 383 |
18. નરેર, પી૦ જી૦ એમ૦(1938) પ્રો૦ ઇણિડ્યન એકેડો સાઇંસ, ખણ્ડ 7એ, પૃ૦ 251 |
19. રોનાલ્ડ, આર૦ એસ૦(1964) જો ફાર્મો ફાર્માકોલો૦, ખણ્ડ 18, પૃ૦ 664 |
20. જારોસ્લાવ, એફ૦ એવં મિલાન, ડલ્લ્યુ૦(1959) કેમો એણ્ડ ઇંડસ્ટ્રી, ખણ્ડ 52, પૃ૦ 1474 |
21. એલ્પર્ટ, એન૦ એલ૦(1947) ફિજા રિવ્યુ, ખણ્ડ 72, પૃ૦ 637 |
22. એણ્ડ્ર્યૂ, ઈ૦ આર૦ એણ્ડ ઈએડીજ, આર૦ સી૦(1952) પ્રો૦ ફિજિ૦ સોસા૦, એ65, પૃ૦ 371 |
23. રમેયાહ, એન૦ એ૦ એણ્ડ ચતુર્વેદી, આર૦ કો(1960) પ્રોસી૦ ઇણિડ્યન એકેડો સાઇંસ, ખણ્ડ 51એ, પૃ૦ 177 |
24. સેડલાક, બી૦(1966) નાહરંગ, ખણ્ડ 10, પૃ૦ 155 |
25. એડમ્સ, એમ૦ એવં અન્ય(1958) જો કેમો ફિજિ૦, ખણ્ડ 28, પૃ૦ 774 |
26. વૉઘ, જો૦ એસ૦ એણ્ડ ફેલિન, ઈ૦ આઈ૦(1963) ફિજા ટ્ર્યુર્ડોગો ટેલા, ખણ્ડ 4, પૃ૦ 1633 |
27. રોબર્ટ્સ, ઈ૦ એ૦ એચ૦(1955) કેમો એણ્ડ ઇંડો, ખણ્ડ 631(સીએ 50, 4847એ) |